Численный анализ волновой динамики в сетях Вольтерра–Лотки

А.А. Белокур, В.В. Перепеловский

Санкт-Петербургский государственный электротехнический университет «ЛЭТИ»

Аннотация: рассмотрено нелокальное обобщение уравнения Вольтерра-Лотки в пространственной и временной областях в рамках квазистационарного приближения. Численный анализ выявил наличие солитонных решений. Уделено внимание влиянию параметров системы на характер распространения возмущений.

Ключевые слова: уравнение Вольтерра-Лотки, солитоны, численное моделирование

1. Введение

Система уравнений Вольтерра–Лотки (В-Л) [1–3], первоначально предложенная для моделирования динамики взаимодействующих популяций в экологии, является одной из фундаментальных моделей нелинейной динамики. В классическом виде система описывает взаимодействие компонент типа «хищник–жертва»:

$$\frac{dx}{dt} = x(\alpha - \beta y),
\frac{dy}{dt} = -y(\gamma - \delta x),$$
(1)

где x и y — функции, характеризующие численность популяций, а α , β , γ , δ — параметры, характеризующие темпы роста, смертности и взаимодействия между видами.

В современных исследованиях уравнения Вольтерра–Лотки находят применение в химической кинетике [4], машинном обучении [5], а также при изучении самоорганизации в распределённых системах [6, 7].

Научная новизна работы заключается в разработке подхода к исследованию волновой динамики системы Вольтерра—Лотки в рамках квазистационарного приближения. Полученные результаты открывают новые возможности для анализа пространственно-временной динамики в системах с конкурирующими взаимодействиями.

2. Исследуемое уравнение

Для разделения динамики системы Вольтерра-Лотки на амплитудные и фазовые режимы рассмотрим уравнение (1) в полярных координатах:

$$\begin{cases} \frac{dr}{dt} = r \left[\alpha \cos^2 \theta \cdot \gamma \sin^2 \theta \right] + r^2 \cos \theta \cdot \sin \theta \left[\delta \sin \theta \cdot \beta \cos \theta \right], \\ \frac{d\theta}{dt} = \cos \theta \cdot \sin \theta \left[\delta r \cos \theta + \beta r \sin \theta - (\alpha + \gamma) \right], \end{cases}$$
(2)

где
$$r = \sqrt{x^2 + y^2}$$
, $\theta = arctan(\frac{y}{x})$.

Используя уравнения (2) получено волновое уравнение, аналогичное уравнению синус-Гордона [8,9] с нелинейностью Вольтерра-Лотки:

$$\frac{d^2r}{dt^2} - c^2 \frac{d^2r}{dx^2} = \left(\alpha \cos^2 \theta - \gamma \sin^2 \theta + 2r \cos \theta \sin \theta (\delta \sin \theta - \beta \cos \theta)\right) \cdot \frac{dr}{dt} + \\
+ \left(r(-2\alpha \cos \theta \sin \theta + 2\gamma \cos \theta \sin \theta) + \\
+ r^2 \left[\cos(2\theta)(\delta \sin \theta - \beta \cos \theta) + \cos \theta \sin \theta (\delta \cos \theta + \beta \sin \theta)\right]\right) \cdot \frac{d\theta}{dt} \\
\frac{d^2\theta}{dt^2} - c^2 \frac{d^2\theta}{dx^2} = \left(\cos \theta \sin \theta (\delta \cos \theta + \beta \sin \theta)\right) \cdot \frac{dr}{dt} + \\
+ \left(\cos(2\theta)(\delta r \cos \theta + \beta r \sin \theta - (\alpha + \gamma)) + \\
+ r \cos \theta \sin \theta (-\delta \sin \theta + \beta \cos \theta)\right) \cdot \frac{d\theta}{dt}$$
(3)

где c — скорость распространения волны.

Вывод волнового уравнения сопряжён с получением второй производной по времени $\frac{d^2\theta}{dt^2}$, и добавлением пространственной компоненты $c^2\frac{d^2\theta}{dx^2}$, аналогично тому, как она вводится в уравнении синус-Гордона. Получаем среду, состоящую из связанных нелинейных элементов Вольтерра-Лотки. Назовём её нелинейная среда Вольтерра-Лотки.

Используя «квазистационарном» приближение, то есть допускаем, что радиальная компонента r остаётся постоянной, волновое уравнение (3) примет вид:

$$\frac{d^2\theta}{dt^2} = c^2 \frac{d^2\theta}{dx^2} + N(\theta) \tag{4}$$

$$N(\theta) = \cos \theta \sin \theta \left(\delta r_0 \cos \theta + \beta r_0 \sin \theta - (\alpha + \gamma) \right) \times \left[\cos(2\theta) + r_0 \sin \theta \left(-\delta \sin \theta + \beta \cos \theta \right) \right]$$
(5)

где $N(\theta)$ — нелинейный член, получаемый из квазистационарного приближения системы. c — скорость распространения волны, r_0 — константа радиальной компоненты

Численное моделирование выполнялось с параметрами сетки, выбранными из условия Куранта [10]. Для построения солитонных решений в работе использована аналитическая форма кинк-солитона, изначально предложенная в решении уравнения синус-Гордона [8]:

$$\theta(\xi) = 4 \arctan\left(e^{\Gamma\xi}\right), \quad \xi = x - vt$$
 (6)

где $\Gamma > 0$ — параметр, отвечающий за ширину фронта солитона, ν — скорость распространения возмущения.

Параметры уравнения (6) определялись методом минимизации невязки [12]. Невязка рассчитывалась по следующему уравнению:

Residual(
$$\Gamma, v$$
) = $\left\| \left(1 - \frac{v^2}{c^2} \right) \frac{d^2 \theta}{d\xi^2} - N(\theta) \right\|_2$ (7)

Невязка рассчитывается как норма разности между левой и правой частями уравнения при подстановке предполагаемого решения (6) в (4). Минимизация невязки проводилась методом Нелдера—Мида [13] с относительной точностью 10^{-4} . В результате значение невязки составило 10^{-3} , а относительная погрешность определения скорости — менее 2.5%. Получены значений Γ и ν , при которых в уравнении (4) возникают солитонные решения. Результаты минимизации невязки

определяли начальные условия уравнения (4).

3. Результаты численного моделирования

В этом разделе представлены основные виды решения волнового уравнения с нелинейностью Вольтерра-Лотки (4) в зависимости от параметров $\alpha, \beta, \gamma, \delta$, рассматривались в пределах от 0.1 до 1. На рисунке 1 представлен пример распространения двух солитонов. Направление распространения солитонов указано стрелками.

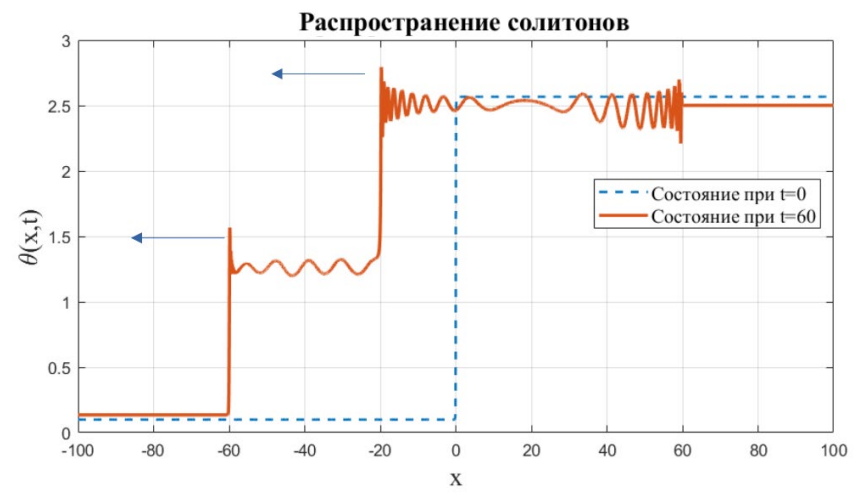


Рисунок 1. Результаты численного решение волнового уравнения с нелинейностью Вольтерра-Лотки в квазистационарном приближении. Начальное положение системы при t=0 задавалось в виде ступеньки с учётом минимизации невязки (7) при следующих параметрах уравнения (4): $\alpha=0.7, \beta=0.5, \gamma=0.3, \delta=0.9$.

Рисунок 2 иллюстрирует динамику системы, при которой после прохождения двух солитонов в противоположных направлениях, нелинейная среда Вольтерра-Лотки переходит в новое состояние.

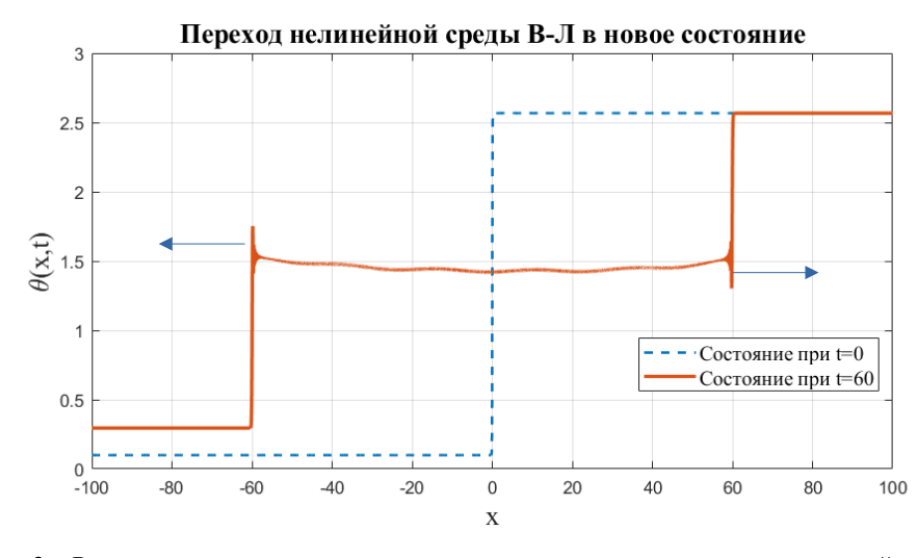


Рисунок 2. Результаты численного решение волнового уравнения с нелинейностью Вольтерра-Лотки в квазистационарном приближении. Начальное положение системы при t=0 задавалось в виде ступеньки с учётом минимизации невязки при следующих параметрах уравнения (4): $\alpha=0.3$, $\beta=0.3$, $\gamma=0.1$, $\delta=0.3$.

Полученное решения на рисунке 2 качественно согласуются с видом решения реакции Белоусова—Жаботинского [15]. Наблюдается переход в новое состояние системы.

При определенных значениях параметров уравнения (4), наблюдаются пространственно-неоднородные решения напоминающих хаотические фронты [16] (рисунок 3).

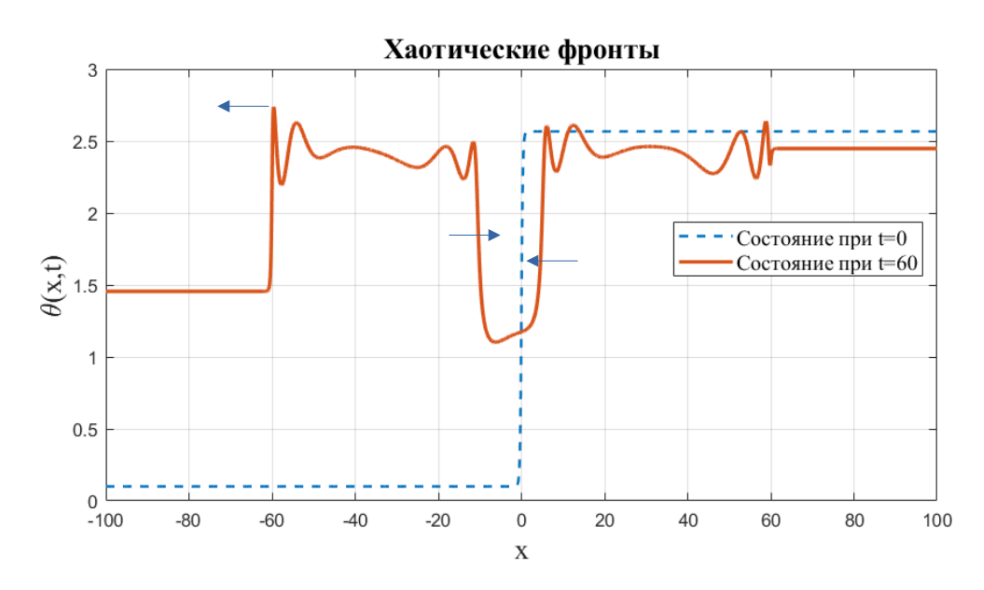


Рисунок 3. Результаты численного решение волнового уравнения с нелинейностью Вольтерра-Лотки в квазистационарном приближении. Начальное положение системы при t=0 задавалось в виде ступеньки с учётом минимизации невязки при следующих параметрах уравнения (4): $\alpha=0.3, \beta=0.1, \gamma=0.1, \delta=0.3$.

Данные решение качественно согласуются с поведением реакционнодиффузионных систем: наблюдаются устойчивые волновые фронты, солитоны и хаотические фронты, как например в модели ФитцХью—Нагумо [16], упрощённая модель нейрона.

Для изучения влияния параметров на поведение решений уравнения (4) проводится варьирование их значений относительно базовых: $\alpha = 0.5, \beta =$ $0.5, \gamma = 0.5, \delta = 0.5$. Каждый из параметров оказывает заметное влияние на характер волновой динамики в среде с нелинейностью В-Л. Ниже представлен анализ вклада параметров в формирование различных типов решений, возникающих в данной среде. Внимание уделено компонентам решения, на которые оказывают наибольшее влияние соответствующие параметры. Параметр α влияет солитонных решений: при $\alpha < 0.5$ численный демонстрирует тенденцию к расходимости, тогда как при увеличении а достигается устойчивая минимизация невязки (7). Параметр β определяет спектральные характеристики отклика среды – при его увеличении усиливается вклад высокочастотных компонент, возникающих в ответ на возмущение. Параметр у регулирует число формирующихся солитонных и хаотических фронтов: при его увеличении за фиксированный промежуток времени наблюдается рост числа возникающих структур. Увеличение δ приводит к формированию фронтов с более выраженными амплитудными градиентами. Таким образом, параметры $\alpha, \beta, \gamma, \delta$ определяют механизмы формирования пространственно-временной структуры решений.

4. Заключение

Рассмотрена пространственно-временная динамика в среде волнового уравнения с нелинейностью Вольтерра—Лотки в квазистационарном приближении. Полученная модель волнового уравнения с нелинейностью В-Л (3) редуцирована к волновому уравнению в квазистационарном приближении (4), что обеспечило возможность анализа её эволюции через солитонные решения. Расчёты показали, что характеристики этих решений существенно зависят от параметров уравнения (4). Выявлено формирование сложных пространственно-временных структур, эквивалентных структурам реакционно-диффузионных системах. Это сходство открывает возможность дальнейшего исследования модели в рамках теории реакционно-диффузионных процессов, в том числе для описания распространения пожаров [19] и эпидемических волн в пространственно-временном представлении.

Список литературы

- 1. Титов В. А., Вейнберг Р. Р. Анализ существующих динамических моделей на базе системы уравнений Лотки-Вольтерры" хищник-жертва" //Фундаментальные исследования. 2016. №. 8-2. С. 409-413.
- 2. Бибик Ю. В., Саранча Д. А. Канонические переменные для некоторых биологических моделей //Математическое моделирование. 2010. Т. 22. №. 3. С. 120-144.
- 3. Reali F., Priami C., Marchetti L. Optimization algorithms for computational systems biology //Frontiers in Applied Mathematics and Statistics. 2017. T. 3. C. 6.
- 4. Ромашев Ю. А., Скоробогатов Г. А. Детерминистское и стохастическое моделирования экосистемы (жертва-хищник), химической системы (горючее-окислитель), экономической системы (ресурсы-индустрия) //Экологическая химия. 2011. Т. 20. №. 3. С. 129-149.
- 5. Mahdavi-Damghani B., Roberts S. A proposed risk modeling shift from the approach of stochastic differential equation towards machine learning clustering: Illustration with the concepts of anticipative & responsible VaR //Available at SSRN 3039179. 2017.
- 6. Huang T. et al. Pattern self-organization and pattern transition on the route to chaos in a spatiotemporal discrete predator–prey system //Advances in Difference Equations. 2018. T. 2018. C. 1-21.
- Bazeia D., Bongestab M., de Oliveira B. F. Chaotic behavior in Lotka-Volterra and May-Leonard models of biodiversity //Chaos: An Interdisciplinary Journal of Nonlinear Science. 2024. T. 34. №.
 5
- 8. Dodd R. K. et al. Solitons and nonlinear wave equations. 1982.
- 9. Wazwaz A. M., Wazwaz A. M. Solitary waves theory //Partial Differential Equations and Solitary Waves Theory. 2009. C. 479-502.
- 10. Курант Р. Методы математической физики. Рипол Классик, 2013.
- 11. Нефедов Н. Н., Дерюгина Н. Н. Существование и устойчивость стационарного решения с пограничным слоем системы уравнений реакция-диффузия с граничными условиями Неймана //Теоретическая и математическая физика. 2022. Т. 212. № 1. С. 83-94.
- 12. Kivshar Y. S., Malomed B. A. Dynamics of solitons in nearly integrable systems //Reviews of Modern Physics. 1989. T. 61. №. 4. C. 763.
- 13. Ouria A., Toufigh M. M. Application of Nelder-Mead simplex method for unconfined seepage problems //Applied Mathematical Modelling. − 2009. − T. 33. − №. 9. − C. 3589-3598.
- 14. Field R. J., Noyes R. M. Oscillations in chemical systems. IV. Limit cycle behavior in a model of a real chemical reaction //The Journal of Chemical Physics. − 1974. − T. 60. − № 5. − C. 1877-1884.
- 15. Zaikin A. N., Zhabotinsky A. M. Concentration wave propagation in two-dimensional liquid-phase self-oscillating system //Nature. − 1970. − T. 225. − №. 5232. − C. 535-537.
- 16. FitzHugh R. Impulses and physiological states in theoretical models of nerve membrane //Biophysical journal. 1961. T. 1. №. 6. C. 445-466.
- 17. Epstein I. R., Pojman J. A. An introduction to nonlinear chemical dynamics: oscillations, waves, patterns, and chaos. Oxford university press, 1998.
- 18. Nicolis G. prigogine, I.(1989). "Exploring complexity: an introduction".
- 19. Шваров Н. Н., Хасан Я., Фахми Ш. С. Метод автоматизированного обнаружения и исследования лесных пожаров //Наука настоящего и будущего. 2018. Т. 1. С. 119-123.